

V203

Verdampfungswärme und Dampfdruck-Kurve

Amelie Hater
amelie.hater@tu-dortmund.de

Ngoc Le
ngoc.le@tu-dortmund.de

Durchführung: 05.12.2023

Abgabe: 12.12.2023

TU Dortmund – Fakultät Physik

Inhaltsverzeichnis

1 Zielsetzung	3
2 Theorie	3
3 Durchführung	5
3.1 Messbereich von 30 mbar bis 1500 mbar	5
3.2 Messbereich von 1 bar bis 15 bar	6
4 Diskussion	7
Literatur	7
Anhang	8
Originaldaten	8

1 Zielsetzung

Das Ziel des Versuchs ist die Verdampfungswärme L von Wasser zu ermitteln. Hierfür wird Wasser erhitzt und die Temperatur sowie der Dampfdruck gemessen.

2 Theorie

Wasser kann in drei verschiedenen Phasen bzw. Aggregatzuständen fest, flüssig und gasförmig vorliegen. Diese Zustände sind von dem Druck p und der Temperatur T abhängig. In der Abbildung (1) ist die Temperatur- sowie die Druckabhängigkeit des Wasserzustands qualitativ abgebildet.

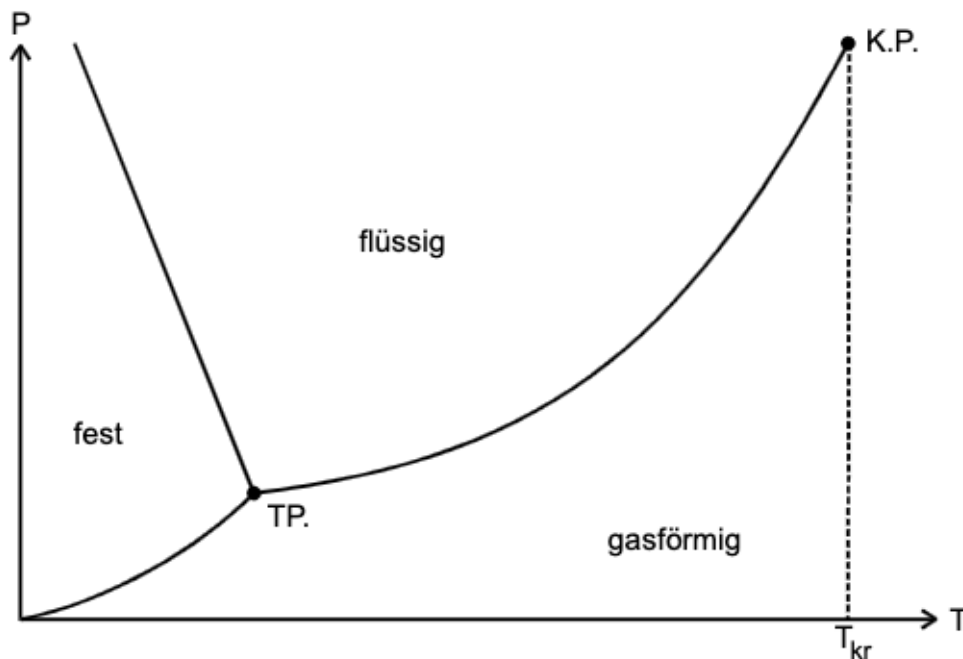


Abbildung 1: Qualitatives Zustandsdiagramm von Wasser. [1]

Innerhalb der drei abgeschlossenen Bereiche, welche den drei genannten Phasen von Wasser entsprechen, besitzt das System zwei Freiheitsgrade p und T . Dahingegen besitzt das System nur einen Freiheitsgrad, wenn sich den Grenzlinien angenähert wird. An diesen Grenzlinien koexistieren zwei Phasen. Am Tripelpunkt (TP.) befindet sich das Wasser im festen, flüssigen als auch im gasförmigen Zustand. An dem kritischen Punkt koexistieren die flüssige und gasförmige Phase. Die Grenzlinie, die den Tripelpunkt und den kritischen Punkt verbindet, wird Dampfdruckkurve genannt. Dabei wird die Dampfdruckkurve durch die molare Verdampfungswärme L charakterisiert. Diese Größe beschreibt die Energie, welche notwendig ist, um bestimmte Stoffmengen zu verdampfen. Im allgemeinen ist die Verdampfungswärme L stoff- und temperaturabhängig. Allerdings

ist L im Bereich der Messung bis zu 1 bar nahezu temperaturunabhängig und wird daher als konstant angenommen. Die Verdampfungswärme L ergibt sich aus der inneren Verdampfungswärme L_i und der äußeren Verdampfungswärme L_a . Somit ergibt sich

$$L = L_i + L_a. \quad (1)$$

L_i beschreibt die Arbeit zur Überwindung der molekularen Anziehungskräfte und L_a ist die Energie, die benötigt wird, um das Volumen eines Stoffes vor der Verdampfung V_F auf das Volumen eines Stoffes nach der Verdampfung V_D auszudehnen. Dieser Vorgang ist anschaulich in der Abbildung (2) dargestellt. Hier wird der Verdampfungs- und Kondensationsprozess eines Stoffes in Abhängigkeit vom Druck p und des Volumens V betrachtet.

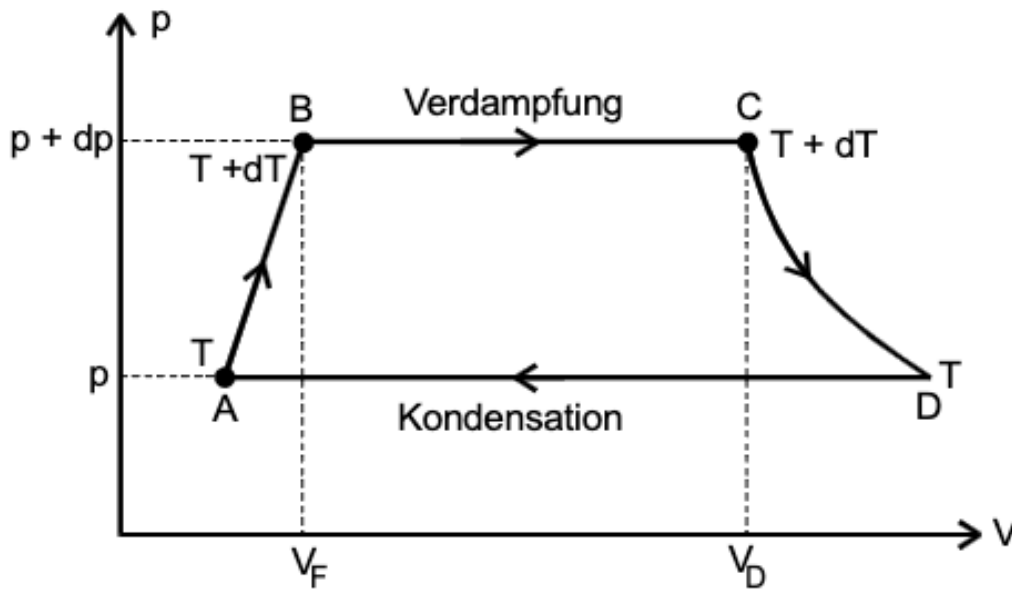


Abbildung 2: Kreisprozess eines Stoffes in einem p-V-Diagramm. [1]

Mithilfe des Kreisprozesses in Abbildung (2) lässt sich die Clausius-Clapeyronsche Gleichung

$$(V_D - V_F) dp = \frac{L}{T} dT \quad (2)$$

bestimmen. Mit dieser Gleichung wird der Verlauf der Dampfdruckkurve eines Stoffes charakterisiert. Wird eine Temperatur betrachtet, welche deutlich kleiner als der kritische Temperatur T_{Kr} ist, werden mehrere Annahmen getroffen. Zunächst wird angenommen, dass V_F deutlich kleiner als V_D ist und somit V_F gegenüber V_D vernachlässigbar ist. Demnach gilt für V_D die ideale Gasgleichung

$$p \cdot V = R \cdot T. \quad (3)$$

Dabei ist p der Druck, V das Volumen, R die allgemeine Gaskonstante und T die Temperatur. Daher ergibt sich für die ideale Gasgleichung für V_D

$$V_D(p, T) = R \cdot \frac{T}{p} \quad (4)$$

Wie bereits erwähnt, wird zudem L als konsant betrachtet. Somit hängt L nicht von dem Druck p und der Temperatur T ab. Daraus folgt durch Integration der Gleichung (2)

$$p = p_0 \cdot \exp\left(-\frac{L}{R} \cdot \frac{1}{T}\right). \quad (5)$$

Diese Gleichung beschreibt nun den Verlauf der Dampfdruckkurve.

3 Durchführung

Die Dampfdruckkurve wird anhand von Messungen im Bereich von 30 mbar bis 1500 mbar bestimmt. Dafür werden die Messungen des niedrigen Bereichs (unter 1000 mbar) und des hohen Bereichs (über 1000 mbar) mit zwei verschiedenen Apparaturen durchgeführt.

3.1 Messbereich von 30 mbar bis 1500 mbar

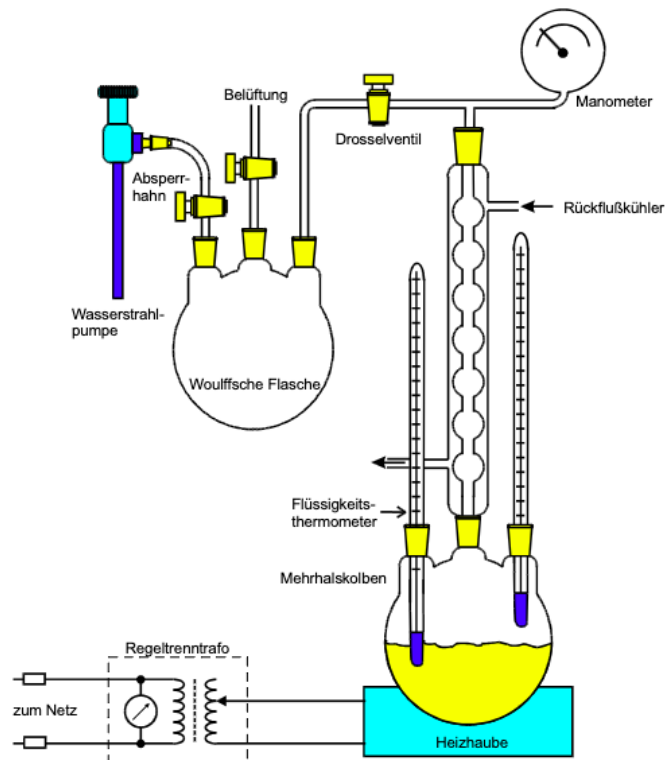


Abbildung 3: Skizze der Messapparatur für den Druckbereich $p < 1$ bar. [1]

Um die Dampfdruckkurve von Wasser zwischen 30 mbar und 1000 mbar zu bestimmen, wird die zu erkennende Apparatur in Abbildung (3) verwendet. Zunächst wird die Wasserstrahlpumpe evakuiert. Hierfür müssen die Belüftungsventile geschlossen sein, während der Absperrhahn und das Drosselventil geöffnet sind. Sobald der Druck sich dem niedrigsten Druck angenähert hat, ist der Enddruck erreicht. Hier wird ein Enddruck von 47 mbar erreicht. Anschließend wird der Absperrhahn, das Drosselventil und die Wasserstrahlpumpe geschlossen. Damit beim Abstellen der Leitungswasserzufuhr kein kaltes Wasser in die evakuierte Apparatur eindringt, ist die Woulffsche Flasche vorhanden. Zusätzlich sollte vor dem Abstellen der Wasserstrahlpumpe zunächst der Absperrhahn geschlossen werden. Daraufhin wird der mit Wasser befüllte Mehrhalstkolben mithilfe der Heizhaube erhitzt. Gleichzeitig wird die Kühlwasserzufuhr eingeschaltet. Nach der Anheizzeit siedet das Wasser. Für die Messung wird für mehrere Temperaturen T , in einem Abstand von 1 °C, der jeweilige Druck p mit dem Manometer gemessen bis eine Temperatur von $T = 100\text{ °C}$ erreicht ist. Während der gesamten Durchführung muss darauf geachtet werden, dass der Kühlwasserdurchfluss konstant tropft.

3.2 Messbereich von 1 bar bis 15 bar

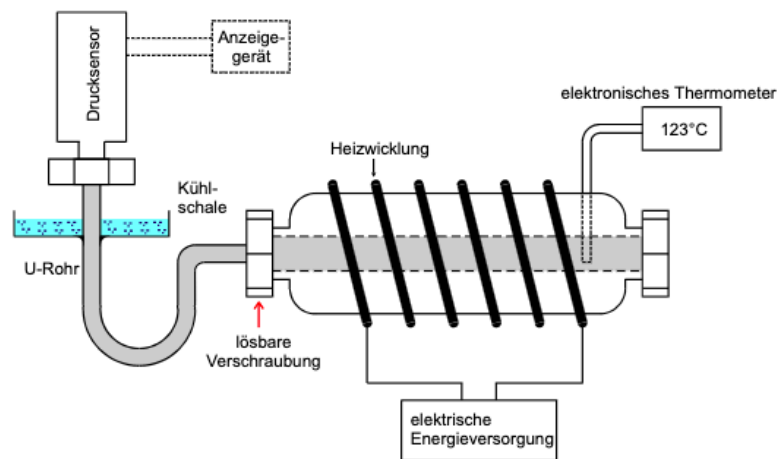


Abbildung 4: Skizze der Messapparatur für den Druckbereich $p > 1$ bar. [1]

Den Verlauf der Dampfdruckkurve im Druckbereich von 1 bar bis 15 bar wird mit der Apparatur bestimmt, die in Abbildung (4) zu sehen ist. Diese besteht aus einem durchbohrten Stahlbolzen. In dem Hohlraum des Stahlbolzen befindet sich das Wasser, was durch die Heizwicklung um den Stahlbolzen erhitzt wird. Nach dem Einschalten der Heizwicklung beginnt die Messung, sobald ein Dampfdruck von $p = 1$ bar erreicht wird. Dann wird die erreichte Temperatur T am Thermometer abgelesen und notiert. Die jeweilige Temperaturabhängigkeit wird in einem Abstand von 1 bar gemessen bis ein Dampfdruck von $p = 15$ bar erreicht wird.

4 Diskussion

-

Literatur

- [1] Unknown. *Verdampfungswärme und Dampfdruck-Kurve*. TU Dortmund, Fakultät Physik. 2023.

Anhang

Originaldaten

V203 Verdampfungswärme und Dampfdruck-Kurve 05.12.2023

Umgebungsdruck: 985 mbar Umgebungstemp: 22°C

T [°C]	p [mbar]	T [°C]	p [mbar]	T [°C]	p [mbar]
22		48	187	76	417
23		50	192	77	438
24		51	197	78	453
25	95	52	202	79	471
26	98	53	207	80	487
27	102	54	212	81	507
28	105	55	218	82	528
29	108	56	225	83	547
30	112	57	231	84	578
31	116	58	237	85	592
32	119	59	245	86	612
33	122	60	252	87	635
34	126	61	258	88	656
35	131	62	265	89	678
36	134	63	273	90	690
37	138	64	281	91	724
38	141	65	290	92	753
39	145	66	299	93	775
40	149	67	308	94	809
41	153	68	317	95	835
42	157	69	327	96	867
43	162	70	337	97	899
44	166	71	348	98	938
45	170	72	360	99	989
46	174	73	373	100	999 <i>Raum</i>
47	178	74	387		
48	183	75	401		

$p(\text{bar})$ $T(^{\circ}\text{C})$

~~0 20~~

1 116

2 132

3 141

4 150

5 156

6 162

7 168

8 173

9 176

10 181

11 185

12 189

13 192

14 195

15 198

Run